

مقایسه تلفات انرژی در پرتاب کننده‌های جامی دایره‌ای و مثلثی شکل

منا امیدواری نیا^{*} و سید حبیب موسوی چهرمی[†]

^{*} ۱- نویسنده مسئول، دانشجوی دکتری سازه‌های آبی دانشگاه شهید چمران اهواز (mona_omidvarinia@yahoo.com)

۲- استاد گروه سازه‌های آبی دانشگاه شهید چمران اهواز

تاریخ پذیرش: تاریخ دریافت:

چکیده

در این تحقیق پرسش اسکی نوع مثلثی که دارای ماهیتی مشابه سرریزهای جامی شکل، ولی با هندسه متفاوت است، مورد بررسی قرار گرفته است. در این راستا عملکرد هیدرولیکی سرریز با باکت مثلثی شکل به جای باکت دایره‌ای، از نظر میزان اتلاف انرژی جنبشی مورد مقایسه قرار گرفت. برای نیل به اهداف این تحقیق، یک مدل فیزیکی از سرریز اوجی در آزمایشگاه مدل‌های فیزیکی هیدرولیکی ساخته شد و در چهار دبی و به دنبال آن در اعداد فرود مختلف آزمایش‌ها انجام شد. همچنین برای هر دبی، ۳ عمق پایاب به کار گرفته شد؛ به طوری که، در هر حالت پرتاب کننده دایره‌ای و مثلثی با زوایای مختلف منظور گردید. نتایج نشان داد که در حالت مقایسه کلی عملکرد پرتاب کننده مثلثی ۴۵ درجه به طور قابل توجهی در استهلاک انرژی بهتر از پرتاب کننده جامی باشد؛ به طور مثال، برای عدد فرود $3/13$ در حالت جت آزاد این مقدار در پرتابهای مثلثی و جامی به ترتیب $66/4$ و $54/8$ درصد می‌باشد. کمترین درصد استهلاک انرژی برای پرتاب کننده مثلثی با زاویه $22/5$ درجه و بیشترین استهلاک انرژی در پرتاب کننده مثلثی با زاویه 45 درجه و طول دسترسی 7 سانتی متر می‌باشد. در حالت مثلثی شکستنگی خطوط جريان در برخورد با شبکه مثلث رخ داده و این در حالی است که برای حالت معمولی این شکستنگی به مراتب کمتر است. در نهایت با توجه به هندسه و اجرای راحت‌تر پرتاب کننده‌های مثلثی و عملکرد بهتر آن در میزان استهلاک انرژی استفاده از این نوع پرتاب کننده توصیه می‌شود.

کلید واژه‌ها: پرتاب کننده‌های جامی، پرتاب کننده‌های مثلثی، استهلاک انرژی، مدل فیزیکی

Comparative Analysis of energy Losses in the Traditional and Triangular Flip Buckets

Omidvarinia.M¹ and Musavi Jahromi.S.H².

1- Ph.D of Hydraulic structures, Shahid Chamran university (SCU), Ahvaz, Iran

2- Professor of Hydraulic structures, Shahid Chamran university (SCU), Ahvaz, Iran

Received: 21 Feb.2012

Accepted: 12 Dec. 2012

Abstract

In this study the triangular flip bucket instead of circular shaped- with the same character but with different geometries- was studied. In this regard, the performance hydraulic overflow bucket with a bucket instead of the usual triangular shape, were compared in terms of energy dissipation. In this regard, the hydraulic performance triangular shaped bucket instead of the usual bucket, were compared in terms of energy dissipation. To achieve this goal, a physical model of the ogee spillway was built in the hydraulic physical models laboratory of Shahid Chamran University (SCU) and experiments were performed in 4 discharges that followed by four different Froude number. The for each discharge 3 tail-water depth were used to run experiments. The results showed that in comparison to the Total performance energy dissipation in triangle flip bucket with 45-degree angle insignificantly is better than cup flip bucket. For example, energy dissipation in Froude number 3.13 in the case of the free jet in the triangle and cup flip bucket respectively 66.4 and 54.8 percent. The lowest and most energy dissipation respectively related to triangle flip bucket with 22.5-degree angle and Triangle flip bucket with 45-degree angle with 7 cm approach channel. A comparison with results for the circular shaped bucket geometry indicates a favorable behavior of the novel bucket design.

Keywords: Flip Buckets, Triangular Flip Buckets, Energy Losses, Physical Model

مقدمه

خلاصه‌ای از توصیه‌های طراحی توسط ماسون^۵ ارائه شد، وی شعاع باکت را حداقل ۳ تا ۵ برابر عمق جریان ورودی و زاویه لبه یا زاویه برخاست بین ۲۰ تا ۳۵ درجه و زاویه گسترش جت در هوا حدود ۵ درجه توصیه نمود(۲). پرتاپ‌های جامی هم به صورت یک کانال منشوری مستطیل شکل و هم به صورت جام دارای یک منحرف کننده جریان جانبی توسط جون و هگر^۶ مورد ارزیابی قرار گرفته است. در تحقیق وی اثرباره مقیاس در مدل‌های هیدرولیکی، توزیع فشار در باکت، مسیر پرتاپ جریان، شرایط ایجاد امواج شوکی و روابط آب برگشتی^۷ در جام‌ها بررسی گردیده است(۱۰). بر اساس نتایج این محققین مشخص گردیده که ارتفاع امواج شوکی و پاش در باکت، مسیر پرتاپ جریان، شرایط ایجاد امواج شوکی و روابط آب برگشتی^۷ در جام‌ها بررسی گردیده است(۱۰). بر اساس نتایج این محققین مشخص گردیده که ارتفاع امواج شوکی و پاش در باکت، مسیر پرتاپ جریان، شرایط ایجاد امواج شوکی و روابط آب برگشتی^۷ در جام‌ها بررسی گردیده است(۱۰). بر اساس نتایج این محققین مشخص گردیده که ارتفاع امواج شوکی و پاش در باکت، مسیر پرتاپ جریان، شرایط ایجاد امواج شوکی و روابط آب برگشتی^۷ در جام‌ها بررسی گردیده است(۱۰). بر اساس نتایج این محققین مشخص گردیده که ارتفاع امواج شوکی و پاش در باکت، مسیر پرتاپ جریان، شرایط ایجاد امواج شوکی و روابط آب برگشتی^۷ در جام‌ها بررسی گردیده است(۱۰). بر اساس نتایج این محققین مشخص گردیده که ارتفاع امواج شوکی و پاش در باکت، مسیر پرتاپ جریان، شرایط ایجاد امواج شوکی و روابط آب برگشتی^۷ در جام‌ها بررسی گردیده است(۱۰).

با توجه به مروی بر مبنای یاد شده در تحقیق حاضر هدف بررسی و مقایسه اثر تغییر هندسه پرتاپ کننده دایره‌ای و مثلثی در زوایای مختلف بر میزان استهلاک انرژی جنبشی آب می‌باشد.

مواد و روش‌ها

همانطور که در بخش گذشته بیان شد در این تحقیق به بررسی عملکرد پرتاپ کننده دایره‌ای و مثلثی شکل پرداخته شده است. لذا برای بررسی این موضوع ابتدا بین پارامترهای موثر بر پدیده روابط بدون بعد استخراج و بر اساس متغیرهای در نظر گرفته شده مدل فیزیکی مهیا گردید که در بخش‌های بعدی به آن پرداخته می‌شود.

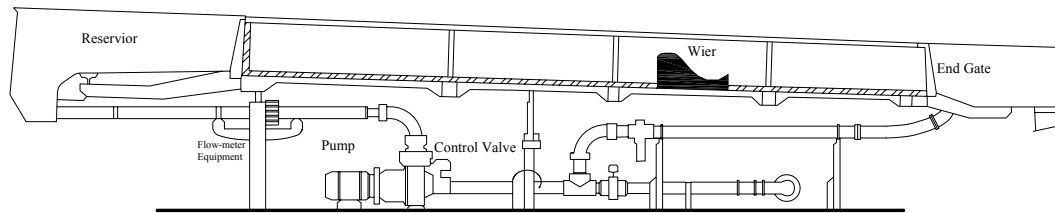
آنالیز ابعادی

به منظور دستیابی به اهداف این تحقیق، ابتدا به شناخت پارامترهای متعددی که در استهلاک انرژی موثر می‌باشند اقدام نموده و با تجزیه و تحلیل ابعادی رابطه کلی شامل پارامترهای بدون بعد استخراج گردید. پارامترهای موثر در این آزمایش‌ها در رابطه(۱) ارائه شده‌اند.

-
- 5-Mason
 - 6-Juon and Hager
 - 7-The Recirculation Flow
 - 8-Steiner *et al.*
 - 9-Guven and Azamathulla

یکی از پارامترهای مهم در طراحی سیستم‌های هیدرولیکی کنترل سرعت جریان می‌باشد. سرعت جریان برای شرایط مختلف طراحی باید در محدوده قابل قبول قرار گیرد تا از تخریب و خسارات ناشی از آن جلوگیری شود(۴ و ۹)، در بسیاری مواقع بدلایل مختلف از قبیل شبیه زیاد عبور آب، انرژی جنبشی بیش از حد جریان وجود دارد که باید از سازه‌های مستهلاک کننده انرژی استفاده شود(۱۴). معمولی ترین روش‌های استهلاک انرژی عبارتند از حوضچه‌های آرامش از نوع پرش هیدرولیکی، جام غلتانی و جام پرتاپ(۷). در حوضچه‌های پرتاپی که، جام پرتاپی یکی از اجزای آن است، هنگامی که جریان از تنداوب وارد جام می‌شود، بخشی از انرژی جنبشی آن در جام مستهلاک می‌گردد. اما با خاطر طول نسبتاً کوتاه جام، اصطکاک بین بستر کanal با سطح زیرین جریان و مقاومت هوا با سطح آزاد جریان، نقش زیادی در استهلاک انرژی ندارد(۱۵)。در این حالت تغییر جهت جریان در جام به سمت بالا و مقاومت نقلی زمین که شتاب رو به پایین وارد می‌کند، باعث کاهش شتاب حرکت و سرعت جریان در جام می‌شود. بخش عظیمی از انرژی جریان با پخش و پراکنده شدن جت خروجی جریان از سازه به صورت پرش اسکی مستهلاک می‌شود. بدینهی است هرچه طول طی شده توسط جت بیشتر باشد استهلاک انرژی بیشتری نیز به وقوع خواهد پیوست (۱۳)。با برخورد جت پودر شده با حوضچه استقرار در پایاب و بوجود آمدن جریان آشفته و متلاطم در حوضچه فرآیند استهلاک انرژی در سیستم پرش اسکی تکمیل می‌شود(۱)。پرش‌های اسکی اواسط دهه ۱۹۳۰ در پروژه هیدرولیکی Dordogne در فرانسه به عنوان یک طرح هیدرولیکی موفق معروف شدند(۲)。вшارها روی باکت توسط بالوفت^۱ مشاهده و محاسبه شد. با استفاده از مدل پتانسیل جریان (به عنوان مثال، خطوط جریان متعدد مرکز در باکت)، وی دریافت در صورتی که نسبت عمق جریان، h_0 در باکت به شعاع انحصار، R، نسبتاً کوچک باشد، حداکثر هد فشاری به طور متوسط ۴ درصد بزرگتر از هد فشاری محاسباتی است(۳)。تیرنی و هندرسون^۲ نشان دادند که برای نسبت‌های کوچک R/h_0 با باکرگیری نظریه گرداب پتانسیلی بین محاسبات دو بعدی و مشاهدات، تطابق مناسبی وجود دارد مشروط بر اینکه زاویه انحراف حداقل ۴۵ درجه باشد (۷)。چن و یو^۳ توزیع فشار در امتداد یک باکت استوانه را با استفاده از معادلات پتانسیل جریان برای زاویه انحراف ۷۵° و ۹۵°/۰ محسوبه نمودند(۵)。نتایج هد فشار حداکثر آنها نزدیک به روش بالوفت بود (۳ و ۵)。لینو و کسیدی^۴ روش چن و یو را اصلاح نمودند. آنها نشان دادند که اثر ویسکوزیته در جریان باکت ناچیز است(۱۱)。همچین

-
- 1-Balloffet
 - 2-Tireney and Henderson
 - 3-Chen and Yu
 - 4-Lenau and Cassidy



شکل ۱- نمایی شماتیک از پروفیل طولی فلوم و سرریز مورد استفاده



شکل ۲- سرریز اوجی، تجهیزات اندازه گیری و پرتاب کننده جامی شکل

جهت رسیدن به اهداف این تحقیق، آزمایش‌ها در فلومی با طول ۱۲ متر، عرض ۳ سانتیمتر و ارتفاع ۵۰ سانتیمتر در آزمایشگاه مدل‌های هیدرولیکی دانشگاه شهید چمران اهواز انجام شد. سیستم گردش آب فلوم به صورت مدار بسته می‌باشد و آب مورد نیاز از طریق مخازن مرتبط بهم تعییه شده در کنار فلوم، تأمین می‌گردد. جریان ورودی از طریق پمپ موجود در بالادست فلوم تأمین گشته و میزان دبی جریان بوسیله یک دبی سنج دیجیتالی با دقت ۰/۰۱ لیتر بر ثانیه قبل از ورود جریان به مخزن آرام کننده اندازه گیری شد. این فلوم دارای یک شیر فلکه برای تنظیم دبی جریان و یک دریچه در پایین دست جهت تنظیم تراز پایاب بود. برای اندازه گیری سرعت جریان در مقاطع مختلف از دستگاه لیزر داپلر (LDV) و برای اندازه گیری پروفیل سطح آب از پوینت گیج استفاده شد. در شکل (۱) نمایی شماتیک از تجهیزات آزمایشگاهی ارائه شده است همچنین شکل (۲) وسایل اندازه گیری و پرتاب کننده جامی شکل را نشان می‌دهد.

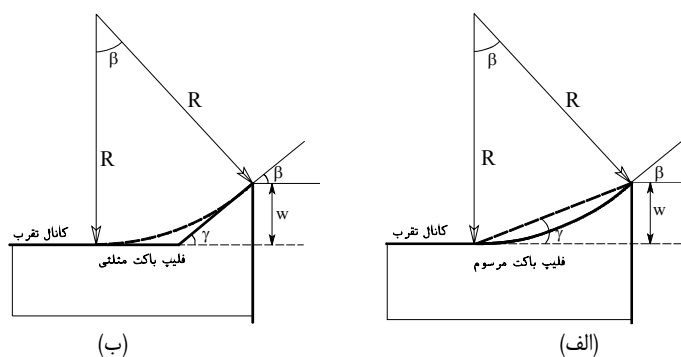
مدل سرریز اوجی شکل طبق استاندارد USBR با ارتفاع ۳۲/۴ سانتی‌متر و طول ۵۲/۴ سانتی‌متر و جام پرتاب کننده با شعاع ۱۳ سانتی‌متر و ارتفاع ۹/۳ سانتی‌متر از جنس فایبر گلاس ساخته شد. مدل پس از ساخت در محلی که ۵/۳۹ متر از مخزن فاصله دارد

$$\Delta E = f(\rho, \mu, g, V, y, R, \sigma, \gamma) \quad (1)$$

که در رابطه (۱)، ΔE : افت انرژی بوده که برابر است با $(E_0 - E_1)$ که در رابطه (۱)، E_0 : انرژی اولیه و E_1 : برابر با انرژی جریان در پایان مسیر پرتابه که تقریباً برابر انرژی جریان در عمق اولیه پرش هیدرولیکی پایین دست می‌باشد، ρ : جرم حجمی آب، μ : لزجت دینامیکی آب، g : شتاب قفل، V : سرعت جریان نزدیک شونده به باکت، y : عمق جریان نزدیک شونده به باکت، R : شعاع باکت، σ : کشش سطحی و γ : زاویه مثلث می‌باشد. با استفاده از روش‌های آنالیز ابعادی و نظریه باکینگهام رابطه کلی زیر بدست می‌آید:

$$\frac{\Delta E}{E_0} = f(Fr, Re, We, \gamma, y/R) \quad (2)$$

در رابطه (۲)، $\frac{\Delta E}{E_0}$: افت نسبی انرژی است که به دلیل بدون بعد $Re = VR/\mu$ نمودن آن به انرژی اولیه تقسیم گردیده است، پارامتر Re با توجه به اینکه در تمام آزمایش‌ها، $Re > 2000$ می‌باشد (عدم تأثیر لزجت جریان) لذا جریان آشفته برقرار بوده و می‌توان از تأثیر عدد رینولدز صرف نظر نمود (۶). شایان ذکر است که با توجه به اینکه در این آزمایشات حداقل ارتفاع آب روی سرریز ۵/۷ سانتی‌متر می‌باشد، می‌توان از اثرات کشش سطحی و عدد ویر We



شکل ۳- تبدیل سرریزی با پرتاب کننده‌های جامی شکل یا معمولی به مثلثی شکل در دو حالت

پایه پرتاب کننده ثابت می‌ماند، که در آن، w : ارتفاع و β : زاویه پرتاب کننده مثلثی می‌باشد. در این تحقیق هر دو مدل پرتاب کننده مثلثی طراحی و ساخته شد. در حالت اول زاویه β ، برابر 45° درجه و ارتفاع از $\frac{9}{3}$ سانتیمتر و در حالت دوم، $\beta = 22.5^\circ$ درجه و ارتفاع از $\frac{9}{3}$ سانتیمتر و هر دو از جنس پلاکسی گلاس می‌باشند. از طرفی در حالت پرتاب کننده مثلثی 45° درجه جهت بررسی اثر طول آستانه، فاصله انتهای سرریز اوجی تا نقطه ابتدای شیب پرتاب کننده، در دو حالت ۲ سانتیمتر و ۷ سانتیمتر بررسی گردید. این در حالی است که طول آستانه در حالات پرتاب کننده جامی و پرتاب کننده مثلثی با زاویه 22.5° درجه ۲ سانتیمتر می‌باشد. در شکل (۴) شماتیک سه مدل پرتابه مثلثی بکار رفته در این تحقیق، ارائه شده است.

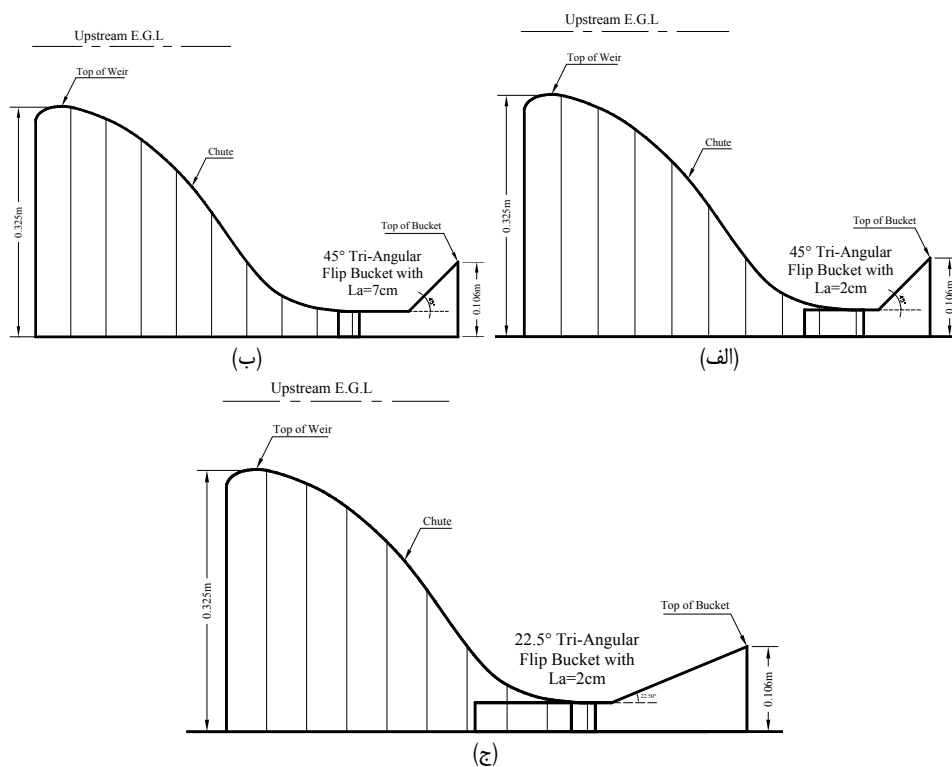
در این تحقیق ۴ دبی $15, 20, 25$ لیتر بر ثانیه و در هر دبی 3 عمق پایاب برای اجرای آزمایش‌ها به کار گرفته شده‌اند و با احتساب چهار نوع پرتاب کننده (یک عدد جامی و سه عدد مثلثی) تعداد 40 آزمایش انجام شد. عمق پایاب اول حالتی است که پرش هیدرولیکی بالا فاصله پس از پرتابه و اندازه‌گیری عمق ثانویه پرش، با فرض ثابت بودن مومنتم در دو طرف پرش و صرفظیر از افت‌های اصطکاکی، عمق اولیه پرش از رابطه اعماق مذووج پرش بدست می‌آید (16) $. \quad p_1 = H_0 - \frac{1}{2} g t^2$. پس از این مرحله انرژی دو طرف سرریز با استفاده اندازه‌گیری‌های مختلف محاسبه گردید. در هر مرحله متغیرهای مورد اندازه‌گیری شامل دبی، Q ، عمق قبل از پرش، y_1 ، عمق بعد از پرش، y_2 ، عمق آب پشت سرریز، H_0 ، ارتفاع آب روی سرریز، H ، ارتفاع آب در کanal آستانه قبل از پرتاب کننده، مسیر پرتابه جت (توسط پوینت گیج و خطکش مسیر پرتابه جت به صورت مختصاتی X و Z برداشت گردید). در مرحله بعد کلیه مراحل بالا توسط پرتاب کننده مثلثی انجام گردید. جهت طراحی پرتابه مثلثی و به این علت که قابل مقایسه با پرتابه دایره‌ای باشد از روابط زیر استفاده گردید.

نصب گردید تا طول لازم برای ایجاد جریان یکنواخت در بالادست تامین گردد.

نحوه انجام آزمایش بدین صورت بود که ابتدا پمپ روشن می‌شد، جریان وارد فلوم می‌گردید، سپس دبی با شیرفلکه مخصوص تنظیم می‌شد در هر دبی عمق و سرعت جریان در 1 متر بالا دست سرریز به دلیل این که از تغییر پروفیل سطح آب در بالادست فاصله داشته باشد، اندازه‌گیری می‌شد. سپس دریچه پایین دست به تدریج بسته می‌شد تا عمق آب پایین دست سرریز یا عمق پایاب افزایش یابد. عمق پایاب تا جایی افزایش می‌یافتد که پرش هیدرولیکی بلا فاصله پس از محل برخورد جت به کف فلوم تشکیل شود. هدف از ایجاد این پرش اندازه‌گیری عمق جریان پس از عبور از عبور از پرتابه است. عمق اولیه پرش به دلیل وجود هوای زیاد در جریان به پایین دست پرتابه، بطور مستقیم قابل اندازه‌گیری نبود. برای اندازه‌گیری این عمق، چون جریان بعد از پرتابه فوق بحرانی است با تشکیل پرش هیدرولیکی بلا فاصله پس از پرتابه و اندازه‌گیری عمق ثانویه پرش، با فرض ثابت بودن مومنتم در دو طرف پرش و صرفظیر از افت‌های اصطکاکی، عمق اولیه پرش از رابطه اعماق مذووج پرش بدست می‌آید (16) $. \quad p_1 = H_0 - \frac{1}{2} g t^2$. پس از این مرحله انرژی دو طرف سرریز با استفاده اندازه‌گیری‌های مختلف محاسبه گردید. در هر مرحله متغیرهای مورد اندازه‌گیری شامل دبی، Q ، عمق قبل از پرش، y_1 ، عمق بعد از پرش، y_2 ، عمق آب پشت سرریز، H_0 ، ارتفاع آب روی سرریز، H ، ارتفاع آب در کanal آستانه قبل از پرتاب کننده، مسیر پرتابه جت (توسط پوینت گیج و خطکش مسیر پرتابه جت به صورت مختصاتی X و Z برداشت گردید). در مرحله بعد کلیه مراحل بالا توسط پرتاب کننده مثلثی انجام گردید. جهت طراحی پرتابه مثلثی و به این علت که قابل مقایسه با پرتابه دایره‌ای باشد از روابط زیر استفاده گردید.

$$\text{الف) } w = R(1 - \cos \beta) \quad \text{ب) } \gamma = \beta / 2 \quad \text{و} \quad w = R(1 - \cos \beta)$$

اشکال و روابط شکل (۳) برای تبدیل پرتاب کننده جامی مرسوم به پرتاب کننده مثلثی با شرایط هندسی یکسان می‌باشند و دارای دو حالت است: در حالت اول زاویه پرتاب کننده و در حالت دوم طول



شکل ۴- پرتاب کننده مثلثی (الف) زاویه ۴۵ درجه و طول ۷ سانتیمتر (ب) زاویه ۴۵ و طول ۲ سانتیمتر (ج) زاویه ۲۲/۵ و طول ۲ سانتیمتر

(۵) الی (۷)، هنگامی که شرایط جریان به گونه‌ای است که امکان تشکیل کامل مسیر پرتابه وجود دارد (حالت عمق پایاب در حالت درصد تشکیل طول مسیر پرتابه)، پرش کامل در پایین دست تشکیل شده و از این رو امکان اتلاف انرژی بیشتری وجود دارد؛ چرا که، در این حالت عمق اولیه پرش توسعه یافته و جریان به صورت توسعه یافته کامل امتداد می‌یابد. حال با افزایش عدد فرود پایی سریز، شرایط پرش به صورت کامل به وقوع نپوسته، باعث ناپایداری آن گشته و از این رو استهلاک انرژی کاهش می‌یابد. در اعمق پایاب ۸۵ و ۷۰ درصد مکانیزم عمل متفاوت بوده و به دلیل این که احتمال تشکیل پرش نوسانی کاهش می‌یابد، در محدوده اعداد فرود آزمایش شده استهلاک انرژی تا حدی افزایش یافته است. ولی با توجه به عدم توسعه یافتنگی کامل عمق اولیه پرش در مجموع اتلاف انرژی در ۸۵ درصد پایاب نسبت به ۱۰۰ درصد پایاب به طور متوسط ۲۲ درصد کاهش یافته و برای پایاب ۷۰ درصد کاهش تلفات به طور متوسط ۵۸ درصد می‌یابشد که همانطور که بیان شد به دلیل عدم توسعه یافتنگی کامل پرش هیدرولیکی می‌یابشد. همان‌گونه که قبلاً نیز اشاره شد در این تحقیق از پرتاب کننده جامی مرسوم که دایره‌ای می‌یابشد نیز به منظور مقایسه استفاده شده است. شکل (۸) درصد تلفات انرژی در مقابل عدد فرود را برای این نوع پرتاب کننده جامی نمایش می‌دهد.

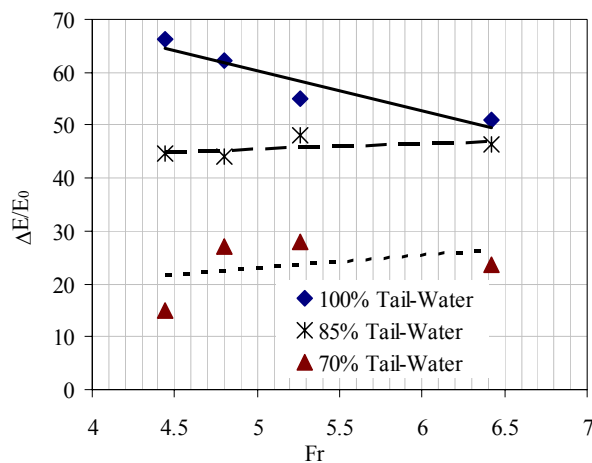
نتایج و بحث

پس از تجزیه و تحلیل داده‌ها، نتایج مربوط به تلفات در پرتابه‌های جامی و مثلثی شکل آورده شده است. در این پژوهش، برای بررسی نتایج درصد اتلاف انرژی در مقابل عدد فرود با انجام ۴۰ سری آزمایش و محاسبه انرژی بالادست و پایین دست در ۴ دی ۱۵ و ۲۰ لیتر بر ثانیه منحنی‌های مربوطه ترسیم گردیدند. این نتایج در شکل‌های (۵) الی (۷) آورده شده‌اند.

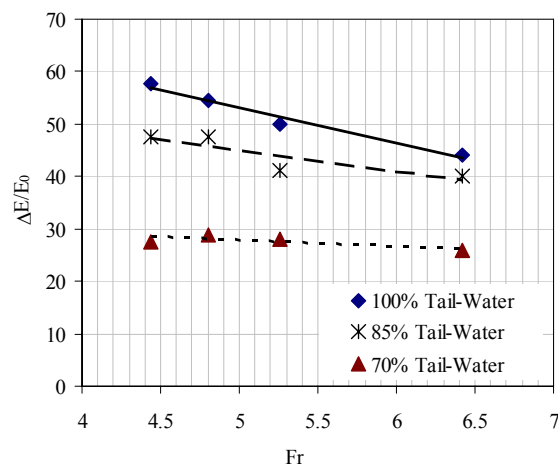
با توجه به نتایج شکل (۵) در پرتاب کننده مثلثی با زاویه ۴۵ درجه و طول آستانه ۷ سانتی متر در عمق پایاب ۱۰۰ درصد با افزایش عدد فرود درصد تلفات انرژی کاهش و برای اعمق پایاب ۸۵ و ۷۰ درصد با افزایش عدد فرود درصد تلفات انرژی افزایش می‌یابد.

بر اساس نتایج بدست امده مشخص گردید که در پرتاب کننده مثلثی با زاویه ۴۵ درجه و طول دسترسی ۲ سانتیمتر برای عمق پایاب ۱۰۰ درصد با افزایش عدد فرود درصد تلفات انرژی کاهش و برای اعمق پایاب ۸۵ و ۷۰ درصد با افزایش عدد فرود درصد تلفات انرژی با شب نسبتاً کمی کاهش می‌یابد.

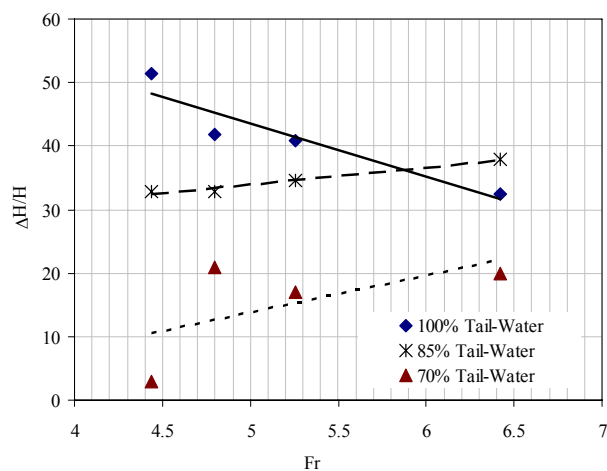
با توجه به شکل (۶) در پرتاب کننده مثلثی با زاویه ۲۲/۵ درجه برای عمق پایاب ۱۰۰ درصد با افزایش عدد فرود درصد تلفات انرژی کاهش و برای اعمق پایاب ۸۵ و ۷۰ درصد با افزایش عدد فرود درصد تلفات انرژی افزایش می‌یابد. بر اساس نتایج مندرج در اشکال



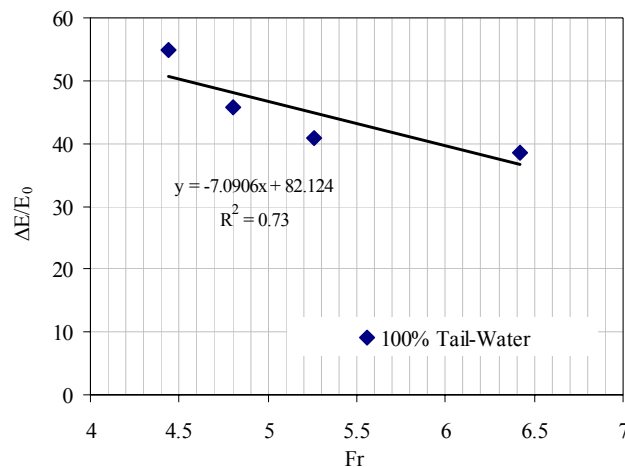
شکل ۵- تلفات نسبی انرژی در پرتابهای مثلثی ۴۵ درجه، طول ۷cm در برابر عدد فرود و اعمق پایاب مختلف



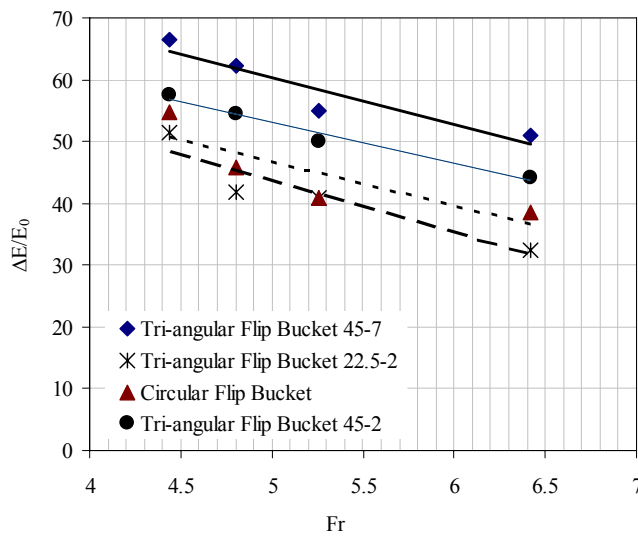
شکل ۶- تلفات نسبی انرژی در پرتابهای مثلثی ۴۵ درجه، طول ۲cm در برابر عدد فرود و اعمق پایاب مختلف



شکل ۷- تلفات نسبی انرژی در پرتابهای مثلثی ۲۲/۵ درجه، طول ۲۲/۵ cm در برابر عدد فرود و اعمق پایاب مختلف



شکل ۸- تلفات نسبی انرژی در پرتابه‌ی جامی با طول ۲ سانتیمتر در مقابل عدد فرود



شکل ۹- تلفات نسبی انرژی در تمامی پرتابکننده‌ها برای عمق پایاب ۱۰۰ درصد

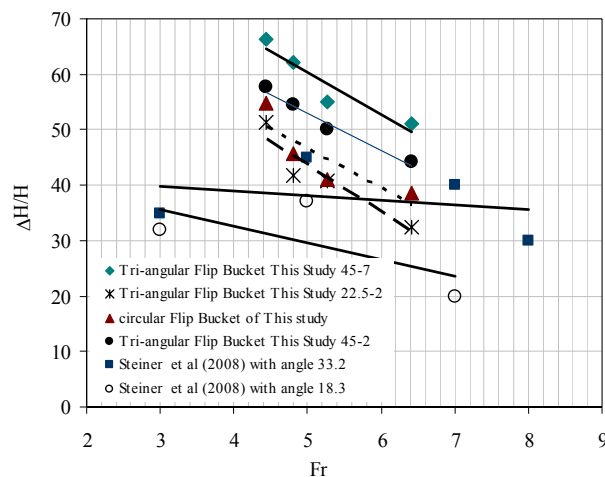
و علت اصلی آن هندسه مثلثی شکل بوده که باعث شکسته شدن و فشرده کردن بیشتر خطوط جریان به تبع آن افزایش سرعت در لحظه پرتاب و در نهایت اتلاف نسبی انرژی بیشتر می‌باشد. در حالت مقایسه‌ای بین پرتابکننده‌های مثلثی با زوایای 45° و 22.5° درجه، نتایج نشان می‌دهد که پرتابه مثلثی 45° درجه عملکرد هیدرولیکی بهتری در اتلاف انرژی نسبی دارد و علت این امر نیز به هندسه پرتابه در زوایای مختلف مرتبط بوده و همانطور که در شکل (۴) مشاهده گردید، در حالت 22.5° درجه پرتابه شبیه ملاپیمتری داشته و این امر باعث می‌شود شکستگی خطوط جریان و به تبع آن استهلاک انرژی جنبشی جریان به نسبت 45° درجه کمتر باشد. از سوی دیگر نتایج و محاسبات مربوط به پرتابکننده مثلثی 45° درجه در دو حالت با طول آستانه ۷ سانتیمتر و ۲ سانتیمتر نشان داد که پرتابه با طول آستانه بیشتر بازده بهتری برای تلفات انرژی نسبت به پرتابکننده با طول کمتر دارد که علت این امر کاهش سرعت پرتابه

شکل (۸) نشان می‌دهد در پرتابکننده جامی برای عمق پایاب ۱۰۰ درصد (jet کاملاً آزاد) نیز با افزایش عدد فرود، تلفات نسبی انرژی کاهش می‌یابد. در شکل (۹) تلفات انرژی برای کلیه حالات مقایسه شده است.

همانطور که در شکل (۹) مشاهده می‌شود با افزایش عدد فرود درصد تلفات انرژی در عمق پایاب ۱۰۰ درصد در همه پرتابکننده‌ها کاهش می‌یابد. با مقایسه تلفات نسبی انرژی در تمامی پرتابکننده‌ها مشاهده می‌شود که بیشترین اتلاف انرژی مربوط به پرتابه مثلثی با زاویه 45° درجه و طول آستانه ۷ سانتی متر است، بعد از آن به ترتیب پرتابه مثلثی با زاویه 45° درجه و طول آستانه ۲ سانتیمتر و پرتابه مثلثی با زاویه 22.5° درجه و طول آستانه ۲ سانتیمتر و در نهایت پرتابکننده جامی مرسوم کارایی کمتری در اتلاف انرژی دارند. بنابراین به طور کلی پرتابکننده‌های مثلثی در زمینه هیدرولیکی و اتلاف انرژی عملکرد بهتری نسبت به پرتابه‌های جامی مرسوم داشته

جدول ۱ آزمون آماری تفاوت میانگین های اختلاف انرژی در فلیپ باکت های مختلف

Group (I)	Group (J)	Mean Difference (I-J)	Sig.
پرتاپ کننده مثلثی ۴۵-۷	پرتاپ کننده مثلثی ۲۲/۵-۲	۱۷/۰۱۴	.۰۰۰۵
	پرتاپ کننده جامی شکل	۱۳/۶۱۹	.۰۰۱۷
	پرتاپ کننده مثلثی ۴۵-۲	۷/۱۰۸	.۰۱۷۴
پرتاپ کننده مثلثی ۲۲/۵-۲	پرتاپ کننده مثلثی ۴۵-۷	-۱۷/۰۱۴	.۰۰۰۵
	پرتاپ کننده جامی شکل	-۳/۳۹۴	.۰۵۰۳
	پرتاپ کننده مثلثی ۴۵-۲	-۹/۹۰۵	.۰۰۶۷
پرتاپ کننده جامی شکل	پرتاپ کننده مثلثی ۴۵-۷	-۱۳/۶۱۹	.۰۰۱۷
	پرتاپ کننده مثلثی ۲۲/۵-۲	۳/۳۹۴	.۰۵۰۳
	پرتاپ کننده مثلثی ۴۵-۲	-۶/۵۱۱	.۰۰۲۱
پرتاپ کننده مثلثی ۴۵-۲	پرتاپ کننده مثلثی ۴۵-۷	-۷/۱۰۸	.۰۱۷۴
	پرتاپ کننده مثلثی ۲۲/۵-۲	۹/۹۰۵	.۰۰۶۷
	پرتاپ کننده جامی شکل	۶/۵۱۱	.۰۰۲۱



شکل ۱۰ - مقایسه نتایج تحقیق حاضر با نتایج تحقیق استینر و همکاران (۲۰۰۸)

موضوع را نمایش می دهد. در ادامه روند انجام این تحقیق نتایج حاصله با نتایج استینر و همکاران (۲۰۰۸) مقایسه گردید که در شکل (۱۰) آورده شده است. همانطور که نشان داده شده است میزان نسبی تلفات انرژی برای پرتاپ کننده مثلثی در دو حالت زاویه $18/3$ و $33/2$ درجه روندی مشابه روند نتایج تحقیق حاضر داشته و تفاوت نشان داده شده در واقع مربوط به اختلاف زاویه ای است که در آزمایش های این تحقیق با تحقیق استینر و همکاران (۲۰۰۸) وجود دارد.

نتیجه گیری

بر اساس آیچه که در این مقاله ارائه شد می توان نتایج حاصله را به صورت زیر خلاصه نمود:

به دلیل بازشدگی خطوط جریان می باشد. برای بررسی دقیق تر موضوع اقدام به تحلیل آماری و آزمون مقایسه های میانگین ها گردید که جدول (۱) نتایج این آزمون را نشان می دهد. بر اساس نتایج مندرج جدول (۱) مشخص است که تفاوت معنی داری در سطح معنی دار ۹۵ درصد به لحاظ آماری بین اتفال انرژی در حالت زاویه مثلث ۴۵ درجه با طول کanal آستانه ۲ و ۷ سانتیمتر وجود ندارد. همچنین آزمون مقایسه میانگین ها در سطح معنی دار ۹۵ درصد نشان می دهد که اختلاف میانگین استهلاک انرژی در پرتاپ کننده جامی شکل و پرتاپ کننده مثلثی با زاویه مثلث ۲۲/۵ درجه نیز معنی دار نیست. بر این اساس مطابق با نتایج جدول (۱) مشخص است که در سایر حالات تفاوت معنی داری بین میانگین های استهلاک انرژی وجود دارد که ستون آخر جدول (۱) این

- در نهایت با توجه به هندسه پرتاب کننده‌های مثلثی و عملکرد بهتر آن در استهلاک انرژی استفاده از این نوع پرتاب کننده از نقطه نظر هیدرولیکی توصیه می‌گردد. ولی لازم است آزمایش‌های بیشتری در مدل‌هایی با مقیاس بزرگتر، قبل از اجرای چنین سازه‌هایی انجام گردد.

سپاسگزاری

نویسنده‌گان مقاله از دانشکده مهندسی علوم آب و گروه سازه‌های آبی دانشگاه شهید چمران اهواز با خاطر در اختیار گذاشتن تجهیزات آزمایشگاهی جهت انجام این پژوهش صمیمانه سپاسگزاری می‌نمایند.

- در حالت کلی برای شرایط مسیر پرتابه آزاد (عمق پایاب برای حالت ۱۰۰ درصد تشکیل مسیر پرتابه) با افزایش عدد فرود تلفات انرژی کاهش می‌یابد.

- تلفات نسبی انرژی در حالت مسیر پرتابه آزاد، نسبت به دو حالت دیگر که در اثر افزایش عمق پایاب ۸۵ و ۷۰ درصد از مسیر پرتابه تشکیل می‌گردد، به دلیل توسعه یافتنگی کامل پرش هیدرولیکی بیشتر می‌یابد.

- در حالت مقایسه کلی عملکرد پرتاب کننده مثلثی ۴۵ درجه به طور قابل توجهی در اتفاق نسبی انرژی بهتر از پرتاب کننده جامی بوده که علت این امر شکستگی و فشردنگی خطوط جریان در برخورد با شبکه مثلث می‌باشد.

- کمترین درصد استهلاک انرژی برای پرتاب کننده مثلثی با زاویه ۲۲/۵ درجه و بیشترین آن در پرتاب کننده مثلثی با زاویه ۴۵ درجه و طول دسترسی ۷ سانتی متر می‌باشد.

منابع

- ۱- بارانی، عباسی پروین. ۱۳۸۸. استهلاک انرژی در سازه‌های هیدرولیکی (مطالعه میدانی سازه‌های مستهلاک کننده انرژی). جهاد دانشگاهی (دانشگاه صنعتی امیرکبیر)، ۲۳۰ صفحه.
- ۲- مهری، م. ۱۳۸۵. "شبیه سازی رفتار هیدرولیکی جریان آب بر روی سرریز سد بالارود با استفاده از مدل فیزیکی با مقیاس کوچک" پایان نامه کارشناسی ارشد، دانشگاه شهید چمران اهواز.
- 3- Balloffet A. 1961. Pressures on spillway flip buckets. Journal of Hydraulic Division, ASCE. Vol. 87. No. (5). pp. 87–98.
- 4- Chanson h. 2004. The Hydraulics of Open Channel Flow An Introduction. Elsevier Butterworth Heinemann. 496 pp
- 5- Chen T-C. And Yu Y-S. 1965. Pressure distribution on spillway flip buckets. Journal of Hydraulic Division, ASCE. Vol. 91. No. 2. pp. 51–63.
- 6- Chow V.T. 1959. Open channel hydraulics. McGraw Hill Book Company, New York. 700 pp.
- 7- Genetti A.J. 1990. Engineering and Design Hydraulic Design of Spillways. U.S. Army Crops of Engineers Washington. DC.
- 8- Guven, A. and Azamathulla, H. 2012. Gene-expression programming for flip-bucket spillway scour. Water Science and Technology journal Vol. 65. No. 11. PP. 1982-1987.
- 9- Hager W.H. 1992. Energy Dissipators and Hydraulic Jump. Water Science and Technology Library. Kluwer Academic Pub, Netherlands. 627 pp.
- 10- Juon R. and Hager W.H. 2000. Flip Bucket Without and With Deflectors. Journal of Hydraulic Engineering. Vol. 126. No. 11. pp. 837-845.
- 11- Lenau C.W. and Cassidy J.J. 1969. Flow through spillway flip bucket. Journal of Hydraulic Division, ASCE. Vol. 95. No. 5. pp. 633–648.
- 12- Mason P.J. 1993. Practical guidelines for the design of flip bucket sand plunge pools. Water Power and Dam Constr. U.K. Vol. 45. No. 9. pp. 40-45.

- 13- Peterka A.J. 1983. Hydraulic design of stilling basins and energy dissipaters. Bureau of Reclamation, Denver. 244 pp
- 14- Rajan B.H and Shivashankara K.N. 1980. Design of trajectory buckets. Journal of Irrigation and Power. Vol. 37. No. 1. pp. 63–76.
- 15- Shafai- Bejostan M. and Neisi K. 2009. A New Roughened Bed Hydraulic Jump Stilling Basin. Asian journal of Applied Sciences. Vol .1. pp. 436-445.
- 16- Steiner, R., Heler, V., Hager, W.H., Minor, H.E., 2008. Deflector Ski Jump Hydraulics, Journal of Hydraulic Engineering, Vol. 134. No.5. pp. 571-562.
- 17- Tierney, D.G. Henderson, F.M., 1963. Flow at the toe of a spillway. La Houille Blanche, Grenoble, France, Vol. 18. No. 1. pp. 42–50.